

琉球大学 正員 ○大城 武
琉球大学 正員 渡嘉敷 直彦

序論：格子桁には、種々の解法が提案され、それらの理論は実用化されている。ここで提案している解法は、finite difference calculus を用い、厳密解を求めようと/or しているもので、この様な解法は、古くから考えられてはいるが、合理的に解法として示されて来たのは近年である。T. Wah, 及び L.R. Calcote は、その著書に一解法を示しており、又 D.L. Dean は、同様な方法で格子桁の解法を発表している。ここに述べる解法は、これらのものを修正して更に一般的な適用を考えるものである。

この解法は、1 個差分方程式の有限フーリエ級数解(field solution)を求めることがある。従来、有限フーリエ級数解は、境界条件を満足するときにのみ、厳密解と考えられていたのであるが、一般にはそのような級数は、特殊な場合を除き見つからない。ここでは、境界条件を満足するように、仮定した級数解を修正して、厳密解を得る方法を示している。

Equations of Equilibrium : Fig.-1 のような、M 本主筋及び N 本横筋の格子桁を考える。主筋及び横筋は、端部 ($\alpha_2=0, N$) で単純支持されたりるものとし、他端 ($\alpha_1=0, M$) においては、自由支持の状態を仮定している。横筋は、等しい曲げ及び振り剛性をもつものとし、又内主筋には、等しい曲げ及び振り剛性を仮定する。両端の外主筋は、内主筋と異なった剛性をもつことが出来る。

Fig.-1 中の格点 (α_1, α_2) と (α_1-1, α_2) の間にはさまれるはりを Fig.-2 に示しておき、これに関する一般的なたわみ角公式は、次のように書ける。

$$\begin{aligned} M_i^R &= -M_i^L = \frac{EI}{L_i} \nabla_1 \theta_1 \\ \begin{bmatrix} M_1^R \\ M_2^R \\ M_2^L \end{bmatrix} &= b_1 \frac{EI}{L_1} \begin{bmatrix} k_1 - \nabla_1 & -\frac{k_1}{L_1} \nabla_1 \\ (1-k_1) \nabla_1 + k_1 & -\frac{k_1}{L_1} \nabla_1 \end{bmatrix} \begin{bmatrix} \theta_2 \\ W \end{bmatrix} \quad (1a, b, c, d) \\ F^R &= -F^L = b_1 \frac{EI}{L_1} \frac{k_1}{L_1} [(\nabla_1 - 2) \theta_2 + \frac{2}{L_1} \nabla_1 W] \end{aligned}$$

ここに、Partial first back-ward difference operator 及び Boole's displacement operator を次のように定義する。

$$\nabla_1 = I - E_1^{-1}, \quad E_1^{-1} f(\alpha_1, \alpha_2) = f(\alpha_1-1, \alpha_2)$$

格点 (α_1, α_2) におけるモーメント及びセン断力は、Fig.-3 に示してあり、これからつり合い条件式は容易に求まる。これに、たわみ角公式を代入し、無次元化すると $(1 \leq \alpha_1 \leq M-1, 1 \leq \alpha_2 \leq N-1)$

$$\begin{aligned} (\beta_1 \Delta_1 - \Delta_2 - 2\beta_2) \theta_1 - \beta_2 \beta_4 E_2 \bar{W} + \bar{M}_1^R &= 0 \\ (\beta_2 \Delta_2 - \Delta_1 - 2\beta_1) \theta_2 + \beta_1 \beta_3 E_1 \bar{W} + \bar{M}_2^L &= 0 \quad (2a, b, c) \\ \beta_1 \theta_2 - \beta_3 \theta_2 \theta_1 - 2(\Delta_1 + \beta_3 \beta_4 \Delta_2) \bar{W} - \bar{F}^e &= 0 \end{aligned}$$

ここで、Partial second order difference operator を次のように定義する。

$$\Delta_1 f(\alpha_1, \alpha_2) = f(\alpha_1+1, \alpha_2) - 2f(\alpha_1, \alpha_2) + f(\alpha_1-1, \alpha_2)$$

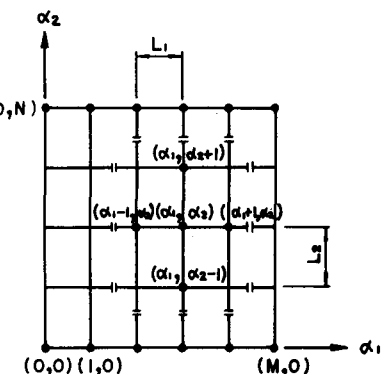


Fig. 1 Grillage Notations
(size $M \times N$)

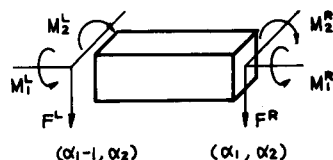


Fig. 2 Beam Element

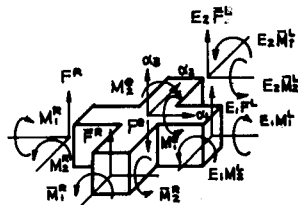


Fig. 3 Typical Node

$$B_2 f(\alpha_1, \alpha_2) = f(\alpha_1, \alpha_2+1) - f(\alpha_1, \alpha_2-1)$$

同様に端部におけるフリーアイド条件から、境界条件が次式のように与えられる。 $\alpha_2 = 0$ ($1 \leq \alpha_1 \leq M-1$) における単純支持条件は、

$$\begin{aligned} \left(\frac{\beta_1}{2} \Delta_1 - \Delta_2 - \beta_2 \right) \theta_1 - \beta_2 \beta_4 \Delta_2 \bar{W} + \bar{M}_1^e &= 0 \\ (\beta_2 \Delta_2 - \Delta_1 - 2\beta_1) \theta_2 + \beta_1 \beta_4 \bar{W} + \bar{M}_2^e &= 0 \quad (3a, b, c) \end{aligned}$$

$$W = 0$$

$$\text{ここに、 } \Delta_2 f(\alpha_1, \alpha_2) = f(\alpha_1, \alpha_2+1) - f(\alpha_1, \alpha_2)$$

$$\alpha_1 = 0 \quad (1 \leq \alpha_2 \leq N-1) \text{ における自由支持条件は、}$$

$$\begin{aligned} -(\beta_1 \Delta_1 + \beta_5 \Delta_2 + 2\beta_5 \beta_2) \theta_1 - \beta_5 \beta_2 \beta_4 \bar{W} + \bar{M}_1^e &= 0 \\ -(\Delta_1 + \beta_5 - \beta_6 \Delta_2) \theta_2 + \beta_5 \Delta_1 \bar{W} + \bar{M}_2^e &= 0 \quad (4a, b, c) \\ -\beta_7 \bar{E}_2 \theta_1 + (\Delta_1 + 2) \theta_2 - 2(\Delta_1 + \beta_7 \beta_4 \Delta_2) \bar{W} - \bar{F}^e &= 0 \end{aligned}$$

差分方程式の厳密解は、式 $(2a, b, c)$, $(3a, b, c)$ 及び $(4a, b, c)$ を満足することであるが、実質的にそのような解を求めることは、不可能である。ここで提案している方法は、式 $(7), (8), (9)$ に示したような有限級数解を用いるのであるが、その orthogonality の範囲が、境界を含めた範囲で満足される。従って、式 $(2a, b, c)$ の Governing Equation を4辺の境界を含めて拡大することである。それに伴って、式 $(3a, b, c)$ 及び $(4a, b, c)$ は式の形が変化する。同時に、Governing Equation と Boundary Condition とを関連づける修正係数を導入している。単純支持の境界条件は、変化した形で下記に示す級数により満足されるので、ここでは、自由端のみを示している。

Modified Governing Equations : $0 \leq \alpha_1 \leq M, 0 \leq \alpha_2 \leq N$

$$\begin{aligned} W_2 [(\beta_1 \Delta_1 - \Delta_2 - 2\beta_2) \theta_1 - \beta_2 \beta_4 \bar{W} + \frac{\bar{M}_1^e}{W} + \lambda_1 \delta_{\alpha_1}^0 + \lambda_2 \delta_{\alpha_1}^M] &= 0 \\ (\beta_2 \Delta_2 - \Delta_1 - 2\beta_1) \theta_2 + \beta_1 \beta_4 \bar{W} + \bar{M}_2^e + \lambda_2 \delta_{\alpha_1}^0 + \lambda_3 \delta_{\alpha_1}^M &= 0 \\ \beta_1 \theta_2 - \beta_3 \bar{E}_2 \theta_1 - 2(\Delta_1 + \beta_3 \beta_4 \Delta_2) \bar{W} - \bar{F}^e + \lambda_3 \delta_{\alpha_1}^0 + \lambda_6 \delta_{\alpha_1}^M &= 0 \quad (5a, b, c) \end{aligned}$$

Modified Boundary Conditions : $\alpha_1 = 0, 1 \leq \alpha_2 \leq N-1$

$$\begin{aligned} [\beta_1 \nabla_1 - (\beta_5 + 1) \Delta_2 - 2\beta_2 (\beta_5 - 1)] \theta_1 - \beta_2 \beta_4 (\beta_5 - 1) \bar{E}_2 \bar{W} - \lambda_1 &= 0 \\ (-\nabla_1 + \beta_1 + (\beta_6 - \beta_2) \Delta_2) \theta_2 + \beta_1 \nabla_1 \bar{W} - \lambda_2 &= 0 \\ (\beta_3 - \beta_7) \bar{E}_2 \theta_1 + (2 - \nabla_1) \theta_2 - 2[\nabla_1 + \beta_4 (\beta_7 - \beta_3) \Delta_2] \bar{W} - \lambda_3 &= 0 \quad (6a, b, c) \end{aligned}$$

ここで級数解を次のように仮定する。

$$\begin{bmatrix} \theta_1(\alpha_1, \alpha_2) \\ \bar{W}(\alpha_1, \alpha_2) \end{bmatrix} = \sum_{m=0}^{M+1} \sum_{n=0}^N \begin{bmatrix} \Theta_{mn} \\ M_{mn} \end{bmatrix} \sin \lambda_m (\alpha_1 + \frac{1}{2}) \cos \lambda_n \alpha_2 \quad (7a, b)$$

$$\begin{bmatrix} \theta_2(\alpha_1, \alpha_2) \\ \bar{M}_2^e(\alpha_1, \alpha_2) \end{bmatrix} = \sum_{m=0}^{M+1} \sum_{n=0}^N \begin{bmatrix} \Theta_{mn}^2 \\ M_{mn}^2 \end{bmatrix} \cos \lambda_m (\alpha_1 + \frac{1}{2}) \sin \lambda_n \alpha_2 \quad (8a, b)$$

$$\begin{bmatrix} W(\alpha_1, \alpha_2) \\ F(\alpha_1, \alpha_2) \end{bmatrix} = \sum_{m=0}^{M+1} \sum_{n=0}^N \begin{bmatrix} W_{mn} \\ F_{mn} \end{bmatrix} \sin \lambda_m (\alpha_1 + \frac{1}{2}) \sin \lambda_n \alpha_2 \quad (9a, b)$$

$$\lambda_1 = \sum_{n=0}^N \lambda_n^1 \cos \lambda_n \alpha_2, \quad \lambda_2 = \sum_{n=0}^N \lambda_n^2 \sin \lambda_n \alpha_2, \quad \lambda_3 = \sum_{n=0}^N \lambda_n^3 \sin \lambda_n \alpha_2 \quad (10a, b, c)$$

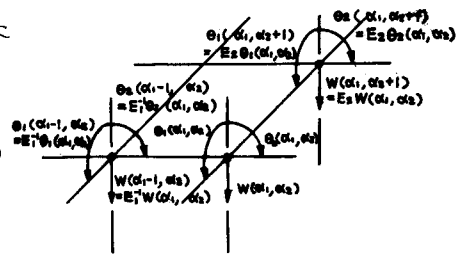


Fig. 4 Deformations at Nodes

$$\text{ここで } \lambda_m = \frac{m\pi}{M+1}, \quad \lambda_n = \frac{n\pi}{N}$$

上式を式 $(5a, b, c)$ 及び $(6a, b, c)$ に代入し、適当な orthogonality relation を用いると、式 $(5a, b, c)$ より、

$$\begin{bmatrix} H_1(m, n) & 0 & -2\beta_2 \beta_4 \sin \lambda_m \\ 0 & H_2(m, n) & 2\beta_1 \sin \lambda_m \\ 2\beta_3 \sin \lambda_m & -2\sin \lambda_m & H_3(m, n) \end{bmatrix} \begin{bmatrix} \Theta_{mn} \\ \Theta_{mn}^2 \\ W_{mn} \end{bmatrix} = - \begin{bmatrix} \frac{4\Phi_m}{M+1} \sin \frac{\Delta m}{2} \lambda_n^1 \\ \frac{4\Phi_m}{M+1} \cos \frac{\Delta m}{2} \lambda_n^2 \\ \frac{4\Phi_m}{M+1} \sin \frac{\Delta m}{2} \lambda_n^3 \end{bmatrix} - \begin{bmatrix} M_{mn}^1 \\ M_{mn}^2 \\ F_{mn} \end{bmatrix} \quad (11a, b, c)$$

$$H_1(m, n) = 2[\beta_1 (\cos \lambda_m - 1) - (\cos \lambda_m - 1) - \beta_3]$$

$$H_2(m, n) = 2[\beta_2 (\cos \lambda_m - 1) - (\cos \lambda_m - 1) - \beta_1]$$

$$H_3(m, n) = 4[(\cos \lambda_m - 1) + \beta_3 \beta_4 (\cos \lambda_m - 1)]$$

式 $(7a, b, c)$ より

$$\begin{bmatrix} K_1(m, n) & 0 & -2\beta_2 \beta_4 (\beta_5 - 1) \sin \lambda_m \sin \frac{\Delta m}{2} \\ 0 & K_2(m, n) & 2\beta_1 \sin \lambda_m \sin \frac{\Delta m}{2} \\ -2(\beta_3 - \beta_7) \sin \lambda_m \sin \frac{\Delta m}{2} & 2 \cos \frac{\Delta m}{2} & K_3(m, n) \end{bmatrix} \begin{bmatrix} \Theta_{mn} \\ \Theta_{mn}^2 \\ W_{mn} \end{bmatrix} = \begin{bmatrix} \lambda_n^1 \\ \lambda_n^2 \\ \lambda_n^3 \end{bmatrix} \quad (12a, b, c)$$

式 $(11a, b, c)$ より $[\Theta_{mn}^1, \Theta_{mn}^2, W_{mn}]^T$ について解き、その値を式 $(12a, b, c)$ に代入し、index_mについて和を求める $[\lambda_n^1, \lambda_n^2, \lambda_n^3]^T$ が求まる。それを式 $(11a, b, c)$ に代入することにより $[\Theta_{mn}^1, \Theta_{mn}^2, W_{mn}]^T$ が求まる。

参考文献: T. Wah & L.R. Calcate "Structural Analysis by Finite Difference Calculus" Van Nostrand Reinhold Co., 1970